

Результаты расчетов показывают, что для материалов с низкой теплопроводностью при одной и той же величине теплового потока и одинаковых толщинах образцов время выхода температуры на «холодной» границе образца до значения T_{\max} увеличивается более чем в 100 раз, что существенно увеличивает погрешности вычисления λ , c , a по выражениям (1–3) за счет конвекции и излучения. Повышение временного интервала установления T_{\max} на «холодной» границе образца, особенно при высокотемпературном эксперименте, лишает импульсные методы всех преимуществ перед традиционными [3].

Заключение

При определении теплофизических характеристик веществ импульсными методами установлен порог теплового потока, обусловленный температурой разложения материалов в приповерхностном слое образца. В результате численного моделирования процессов теплопроводности показано, что импульсные методы дают корректные результаты для материалов с высокой теплопроводностью, какими являются металлы и сплавы. Использование импульсных методов для материалов с низкой теплопроводностью возможно при ограничении продолжительности импульса и толщины образцов.

СПИСОК ЛИТЕРАТУРЫ

1. Parker W.J., Jenkins R.J., Butler C.P. et al. Flash method of determining thermal diffusivity, heat capacity and thermal conductivity // J. of Appl. Physics. – 1961. – V. 32. – № 9. – P. 1675–1684.
2. Пономарев С.В., Мищенко С.В., Дивин А.Г. Теоретические и практические аспекты теплофизических измерений: Монография. В 2 кн. – Тамбов: Изд-во Тамб. гос. техн. ун-та, 2006. – Кн. 1. – 206 с.; Кн. 2. – 236 с.
3. Сабсай О.Ю., Чалая Н.М. Технологические свойства термопластов (обзор) // Пластические массы. – 1992. – № 1. – С. 5–13.
4. Технологические лазеры. Справочник в 2-х т. / Под ред. Г.А. Абилюинова. – М.: Машиностроение, 1991. – Т. 1. – 431 с.
5. Вержбицкий В.М. Основы численных методов. – М.: Высшая школа, 2002. – 840 с.

Поступила 05.05.2008 г.

УДК 536.46; 536.3

МЕТОД РАСЧЕТА ТЕПЛООБМЕНА ИЗЛУЧЕНИЕМ В ТОПКЕ ОСЕСИММЕТРИЧНОЙ КОНФИГУРАЦИИ НА ОСНОВЕ УРАВНЕНИЙ ДЛЯ КОМПОНЕНТ СУММАРНОГО ВЕКТОРА ПОТОКА ЛУЧИСТОЙ ЭНЕРГИИ. СИСТЕМА УРАВНЕНИЙ

В.П. Бушланов, И.В. Бушланов

Белгородский государственный университет
E-mail: bvp@ngs.ru

Записаны уравнения сохранения для течения горячей смеси газов в топке малогабаритного котла мощностью 1 МВт с пористой керамической горелкой, в котором зона горения сосредоточена в области размером 1 см около поверхности горелки и в ее поверхностном пористом слое толщиной 1...3 мм. В уравнении сохранения энергии газа сток лучистой энергии учтен традиционно, он полагается равным объемной плотности спонтанного излучения из газа. Не традиционным является предположение о том, что поглощенное газом монохроматическое излучение сразу же изотропно излучается газом, вследствие значительной химической неравновесности в узкой зоне горения. Уравнения для расчета теплообмена излучением записаны не для интенсивности излучения, которая является функцией координат и двух углов направления распространения излучения, а для суммарного вектора потока лучистой энергии (СВПЛЭ), компоненты которого зависят только от координат. Такое уменьшение независимых переменных на 2 является существенным для численных расчетов. Компоненты СВПЛЭ внутри топки и на поверхности горелки представлены явно в виде интегралов от известных функций и граничной радиальной компоненты СВПЛЭ на цилиндрической поверхности топки – функции только одной продольной координаты. Для указанной граничной радиальной компоненты СВПЛЭ получено интегральное уравнение Фредгольма 2 рода.

Постановка задачи

Уравнения, описывающие теплообмен в реагирующем газе в объеме котла между поверхностью пористой горелки и стенками котла, учитывающие перенос тепла излучением, необходимы для проектирования котла с керамической горелкой мощностью 1...3 МВт, производимой в Отделе структурной макрокинетики Томского научного центра СО РАН. Температура и кинетика реакций в области горения определяется скоростью отвода тепла, ко-

торая существенно зависит от излучения из объема горячей смеси. Известно, что доля излучения в потоке тепла на теплообменниках котла доходит до 90 %. Поэтому при проектировании необходим точный расчет теплообмена излучением в топке. В отличие от горелок факельного типа, где зона горения рассредоточена по факелу, в рассматриваемой керамической горелке зона горения находится в слое газа порядка 0,01 м от поверхности горелки и в граничных порах поверхности горелки в слое тол-

шиной порядка размера граничной поры. Как показывают эксперименты А.И. Кирдяшкина и Ю.М. Максимова (Отдел структурной макрокинетики Томского научного центра СО РАН), температура в указанной узкой зоне горения изменяется от 800 до 1800°, в продуктах горения отсутствуют частицы сажи, и из зоны горения идет поток излучения, интенсивность которого на 20 % выше расчетная. Под расчетной интенсивностью здесь понимается теоретически максимально возможная, которая рассчитана по максимально возможным значениям спонтанного излучения из слоя газа и от поверхности горелки и отраженного от поверхности горелки для измеренных профилей температур. Для проектирования и объяснения более высоких экспериментальных значений интенсивности излучения необходимы не приближенные инженерные уравнения, а точные, в которых в дальнейшем могли бы быть учтены и дополнительные (пока не учитываемые) механизмы излучения.

Обычно, в инженерных расчетах, в объемах содержащих поверхности, учитывают многократное поглощение и отражение на поверхностях, что приводит к значительной громоздкости формул для потока лучистой энергии, например [1]. Эти формулы неудобны при создании точных не одномерных алгоритмов расчета теплообмена излучением. В инженерных методах расчета в ракетных двигателях [2] описаны методы учета поглощения, вынужденного излучения или индуцированного (терминология из [2]) и рассеяния, а на твердых поверхностях вместо рассмотрения многократных поглощения и отражения записываются условия поглощения и отражения для суммарного потока лучистой энергии, что упрощает алгоритм расчета. В расчетах моделирующих прохождением лучами Солнца атмосферы Земли, например [3], получены уравнения в интегральной форме для спектральной интенсивности лучистой энергии, в которых наряду с поглощением и спонтанным излучением учитывается не изотропное рассеяние излучения. Указанные интегральные уравнения записаны на линии распространения луча в объемах, не содержащих излучающие, поглощающие и отражающие поверхности. С учетом указанных отражающих и поглощающих поверхностей уравнения переноса лучистой энергии решаются в работах [4–6]. В них рассмотрены современные методы расчета теплообмена излучением в кольцевых печах с подвижным подом. Там же для трехмерных объемов химически не реагирующих газов предложена эффективная численная методика решения уравнения переноса излучения методом дискретных ординат с использованием кусочно-аналитических решений уравнения переноса и обсуждены вопросы выбора спектральных коэффициентов и уравнений теплообмена со стенками котла.

Ниже предлагается метод расчета суммарного вектора потока лучистой энергии (СВПЛЭ) в осесимметричных объемах, удобный для использования в двумерных численных газодинамических расчетах процесса горения в топке котла с пористой го-

релкой. Вследствие отсутствия частиц сажи и большой неравновесности в зоне горения, рассеяние излучения учитывается только на молекулах смеси газов как изотропное, с суммарной интенсивностью равной суммарной интенсивности поглощенного монохроматического излучения. В отличие от описанных выше методов, в предлагаемом методе, интегрированием уравнения переноса фотонов в интегральной форме по всем возможным линиям распространения лучей, получены осесимметричные интегральные уравнения для компонент СВПЛЭ на поверхностях горелки и топки, а внутри топки компоненты СВПЛЭ вычисляются в виде интегралов. Интегральные уравнения содержат неизвестные функции только одной переменной, в то время как известные уравнения переноса излучения содержат функцию интенсивности излучения, зависящую не только от координат, но и от двух углов направления распространения излучения. Метод применим только в случаях, когда потоки излучения на поверхностях можно представить только через компоненты СВПЛЭ и температуры стенок (в других случаях, когда указанное представление на поверхностях невозможно, можно использовать метод предложенный в [4–6]). Схема топки котла и горелки, которая используется при выводе уравнений методики, представлена на рисунке (см. ниже). Здесь x и r оси цилиндрической системы координат, $x=x_\phi$ – поверхность пористой горелки, $x=L$ – координата конца топки, $r=R_\alpha$ – радиусы цилиндрической топки и горелки; горючая смесь поступает слева с поверхности пористой горелки.

Уравнения сохранения для газовой смеси

Дифференциальные уравнения сохранения массы, количества движения, энергии, уравнение состояния и изменения массовой концентрации горючего для газовой смеси в топке имеют следующий вид:

$$\begin{aligned} \frac{\partial \rho}{\partial t} + \operatorname{div}(\rho \mathbf{v}) &= 0, \\ \frac{\partial \rho \mathbf{v}}{\partial t} &= -\nabla \left[P + \left(\frac{\mu}{3} + \xi \right) \operatorname{div} \mathbf{v} \right] + \\ &+ \nabla^k (-\rho \mathbf{v} v^k + \tau^k) + \rho \mathbf{g}, \\ \tau^{kl} &= \mu e^{kl}, \quad e^{kl} = (\nabla^k v^l + \nabla^l v^k). \end{aligned} \quad (1)$$

$$\begin{aligned} \frac{\partial \left[\rho \left(h + \frac{v^2}{2} \right) \right]}{\partial t} &= \\ &= -\nabla^k \left\{ \left[\rho \left(h + \frac{v^2}{2} \right) + P + \left(\frac{\mu}{3} + \xi \right) \operatorname{div} \mathbf{v} \right] v^k + \right. \\ &\quad \left. + \mu e^{kl} v^l - \lambda \nabla^k T \right\} + \\ &\quad + \rho (\mathbf{v} \mathbf{g}) - \varepsilon, \end{aligned}$$

$$P = \frac{\rho R_0 T}{M}, \quad \frac{1}{M} = \sum_{k=1}^{N+1} \frac{c_k}{M_k}, \quad \frac{d\eta}{dt} = \eta w(\eta, T), \quad h = h(T),$$

где $\rho, \mathbf{v}, P, T, h, \mu, \xi, e^{kl}, \lambda, \mathbf{g}, t$ – соответственно плотность смеси, вектор скорости, давление, температура смеси, энтальпия единицы массы смеси, динамическая вязкость, вторая вязкость, тензор скоростей деформаций, коэффициент теплопроводности, вектор ускорения силы тяжести, время. ε – объемная плотность спонтанного излучения; M, R_0 – средняя молекулярная масса смеси и универсальная газовая постоянная; $M_k, c_k = \rho_k/\rho$ – молекулярные веса и концентрации компонент газа; ρ_k – плотность компонент газа, $w(\eta, T)$ – относительная массовая скорость расхода горючего на единицу массы смеси газов. Средняя молекулярная масса M – является функцией массовой концентрации $\eta = \rho_g/\rho$, где ρ_g – плотность горючего, индекс g относится к горючему и соответствует $k=N+1$. Определим функцию $M(h)$. Пусть брутто реакция горения записана относительно горючего в ви-

де $\mu_g A_g = \sum_{k=1}^N \mu_k A_k$, где для инертных компонент газа не участвующих в реакции горения, стехиометрические коэффициенты μ_k – равны нулю. Очевидно, что концентрации компонент, участвующих в реакции, связаны с концентрацией η согласно выражению $c_{k0} - c_k = \frac{\mu_k M_k}{\mu_g M_g} (\eta_0 - \eta)$, где индекс 0 – отно-

сится к начальным значениям параметров. Разделим левую и правую часть последнего равенства на M_k и просуммируем равенство по всем k , тогда получим

$$\frac{1}{M} = \sum_{k=1}^{N+1} \frac{c_k}{M_k} = \frac{1}{M_0} [1 + \zeta (\eta - \eta_0)],$$

$$\frac{1}{M_0} = \sum_{k=1}^{N+1} \frac{c_{k0}}{M_k} = \text{const}, \quad \zeta = \frac{M_0}{\mu_g M_g} \sum_{k=1}^{N+1} \mu_k = \text{const}.$$

Уравнение переноса фотонов в дифференциальной форме

Обозначим $cN(\omega, t, x, \theta, \phi)$ – число фотонов с частотой ω , пересекающих в направлении $\mathbf{n} = \{\cos\theta, \sin\theta, \cos\phi, \sin\phi\}$ в единицу времени единицу площади с нормалью \mathbf{n} , где c – скорость света, здесь и далее в фигурных скобках будем указывать компоненты векторов, θ – угол между осью x цилиндрической системы координат (x, r, φ) и направлением \mathbf{n} , ϕ – угол, отсчитываемый в плоскости перпендикулярной оси x (различать углы ϕ и φ). Уравнение переноса лучистой энергии можно писать для функции интенсивности потока излучения $I(\omega, t, x, \theta, \phi)$ или в эквивалентном виде, который применяется далее, для функции числа фотонов $N(\omega, t, x, \theta, \phi)$ в единице объема. Указанные функции связаны соотношением $I = ch\omega N$. Пусть $cN_v(\omega, t, x, \theta, \phi)$ – число фотонов с частотой ω , спонтанно излучающихся из единицы объема газа в единицу телесного угла в направлении \mathbf{n} . Например, для изотропного излучения

$$N_v = \frac{1}{4\pi h\omega} a(\omega, T) i_{bn}(\omega, T), \quad i_{bn}(\omega, T) = \frac{h}{\pi^2 c^3} \frac{\omega^3}{e^{\frac{h\omega}{T}} - 1}, \quad (2)$$

где h – постоянная Планка, $i_{bn}(\omega, T)$ – интенсивность монохроматического теплового излучения черного тела в направлении нормали, $a(\omega, T)$ – коэффициент поглощения.

Закон сохранения числа фотонов в некотором произвольном объеме топки V , ограниченном поверхностью S , запишем в следующем виде:

$$\begin{aligned} & \frac{\partial}{\partial t} \int_V N(\omega, t, x, \theta, \phi) dV = \\ & = -c \int_S N(\mathbf{n}, \mathbf{v}) dS + \int_V N_v dV - c \int_V \tilde{a} N dV + \\ & + c \int_V \frac{1}{4\pi} \int_{4\pi} \tilde{a} N(\omega, t, x, \theta_1, \phi_1) d\Omega_1 dV, \end{aligned} \quad (3)$$

где левая часть уравнения равна изменению числа фотонов в выделенном объеме в единицу времени, а в правой части первый интеграл равен потоку фотонов в единицу времени через поверхность выделенного объема. Вторым и третий интегралы равны соответственно количеству фотонов излучаемых и поглощаемых газом в выделенном объеме в единицу времени. Четвертый интеграл равен изотропному приходу излучаемых поглощенных фотонов в выделенном объеме (будем их условно называть рассеянными фотонами), где \mathbf{v} – единичная внешняя нормаль к поверхности, в коэффициенте поглощения в газе $\tilde{a}(w, T)$ учтено индуцированное излучение (при индуцированном излучении испускаются фотоны той же частоты и в том же направлении, что и первоначальные [2]). Количество поглощенных фотонов dN на длине dl равно

$$dN = -\tilde{a}(\omega, T) N dl. \quad (4)$$

Интегрируя (4) получим следующий закон поглощения на длине l_0 :

$$N(l) = N_0 \exp\left[-\int_0^l \tilde{a}(\omega, T) dl_1\right]. \quad (5)$$

Переходя в уравнении (3) в поверхностном интеграле к интегрированию по объему и учитывая произвольность объема V , получим следующее уравнение переноса фотонов в частных производных:

$$\begin{aligned} & \frac{\partial N}{\partial t} + c \operatorname{div}(\mathbf{n} N) = N_v - c \tilde{a} N + c \sigma, \\ & \sigma(\omega, T) = \frac{1}{4\pi} \int_{4\pi} \tilde{a} N(\omega, t, x, \theta_1, \phi_1) d\Omega_1. \end{aligned} \quad (6)$$

Умножим (6) на энергию одного фотона $h\omega$, проинтегрируем по частотам $d\omega$ и по всем телесным углам $d\Omega = \sin\theta d\theta d\phi$ тогда получим следующее уравнение:

$$\begin{aligned} & \frac{\partial e}{\partial t} + \operatorname{div} \mathbf{I} = \varepsilon, \\ & e = h \int_0^\infty \left(\int_\Omega N d\Omega \right) \omega d\omega, \quad \mathbf{I} = hc \int_0^\infty \left(\int_\Omega \mathbf{n} N d\Omega \right) \omega d\omega, \\ & \varepsilon = h \int_0^\infty \left(\int_\Omega N_v d\Omega \right) \omega d\omega, \end{aligned} \quad (7)$$

где e – плотность энергии фотонов в единице объема, \mathbf{I} – суммарный вектор потока лучистой энергии, ε – объемная плотность излучения из единицы объема газа (см. (1)), где общий приход энергии фотонов из-за рассеяния равен нулю. В случае стационарных уравнений (1) и (7) получим

$$\varepsilon = \text{div } \mathbf{I}. \quad (8)$$

Отметим, что членом $\partial e/\partial t$ в нестационарном уравнении сохранения энергии обычно пренебрегают, например [6]. Суммарный поток излучения (7) через единицу площади с нормалью \mathbf{n}^s равен

$$I^s(x) = c \int_0^\infty h\omega d\omega \int_0^\pi \sin\theta d\theta \int_0^{2\pi} (\mathbf{n}^s \mathbf{n}^s) N(\omega, t, x, \theta, \phi) d\phi = \mathbf{n}^s \mathbf{I}. \quad (9)$$

Из (9) следует, что в декартовой системе координат $\mathbf{I}(x) = \{I_x, I_y, I_z\}$ – есть вектор, где компоненты вектора на оси декартовой системы координат можно определить из (9) соответственно полагая $(\mathbf{n}^s \mathbf{n}^s) = \cos\theta$, $(\mathbf{n}^s \mathbf{n}^y) = \sin\theta \cos\phi$, $(\mathbf{n}^s \mathbf{n}^z) = \sin\theta \sin\phi$. Вектор потока $\mathbf{I}(x)$ необходим для записи уравнения сохранения энергии в средах с излучением (см. (8), (1)). Указанный поток вычисляется из (9), если известна функция $N(\omega, t, x, \theta, \phi)$.

Уравнение переноса фотонов в интегральной форме

Получим уравнение переноса фотонов в интегральной форме, эквивалентное уравнению в частных производных (6). При записи интегрального уравнения для функции N используем следующее рассуждение. Фотоны, которые находятся в точке среды с координатой x , приходят из объемов среды, лежащих на прямой $\mathbf{x}_1 = \mathbf{x} - \mathbf{n}l_1$. Здесь расстояние l_1 изменяется от нуля и до величины $l_f = |\mathbf{x}_f - \mathbf{x}|$, где \mathbf{x}_f – координаты пересечения прямой со стенкой. Из внутренних точек указанной прямой приходят фотоны, спонтанно излучаемые газом, фотоны индуцированного и рассеянного излучений, а из точки поверхности \mathbf{x}_f – фотоны, спонтанно излучаемые стенкой и отраженные фотоны. Пусть $cN_f(\omega, \mathbf{x}_f, \theta, \phi)$ – число фотонов с частотой ω , приходящих с единицы поверхности твердого тела в направлении \mathbf{n} в единицу телесного угла. Например, для черного спонтанного излучения

$$N_f(\omega, \mathbf{x}, \theta, \phi) = \frac{i_{bn}}{4\pi h\omega}. \quad (10)$$

От стенки в точку среды с координатой x приходит следующий поток фотонов:

$$cN_f(\omega, t - \frac{l_f}{c}, \mathbf{x} - \mathbf{n}l_f, \theta, \phi)(\mathbf{n}\mathbf{n}_f) \times \exp\left[-\int_0^{l_f} a(\omega, T(t - \frac{l}{c}, \mathbf{x} - \mathbf{n}l))dl\right], \quad (11)$$

где \mathbf{n}_f – единичная внешняя нормаль к стенке ($N_f=0$ если $\mathbf{n}\mathbf{n}_f < 0$ – условие того, что фотоны движутся от стенки), последний множитель согласно (5) равен относительной части фотонов дошедших до

точки с координатой \mathbf{x} без поглощения и рассеяния (другими словами, равен вероятности, дойти без поглощения и рассеяния). Величина (11) состоит из спонтанного излучения от стенки имеющей температуру T_f и отраженного излучения. Учитывая указанные рассуждения, запишем уравнение для потока фотонов в направлении \mathbf{n} в точке среды с координатой x следующим образом:

$$cN(\omega, t, \mathbf{x}, \theta, \phi) = cN_f(\omega, t - \frac{l_f}{c}, \mathbf{x} - \mathbf{n}l_f, \theta, \phi)(\mathbf{n}\mathbf{n}_f) \exp\left[-\int_0^{l_f} \tilde{a}(\omega, T(t - \frac{l}{c}, \mathbf{x} - \mathbf{n}l))dl\right] + \int_0^{l_f} \left[N_f(\omega, t - \frac{l_1}{c}, \mathbf{x} - \mathbf{n}l_1, \theta, \phi) + c\sigma(\omega, t - \frac{l_1}{c}, \mathbf{x} - \mathbf{n}l_1) - \int_0^{l_1} \tilde{a}(\omega, T(t - \frac{l}{c}, \mathbf{x} - \mathbf{n}l))dl \right] \exp\left[-\int_0^{l_1} \tilde{a}(\omega, T(t - \frac{l}{c}, \mathbf{x} - \mathbf{n}l))dl\right] dl_1. \quad (12)$$

Второе и третье слагаемые в уравнении переноса фотонов в интегральной форме (12) равны соответственно потоку фотонов излучаемых и рассеянных находящихся на прямой линии $\mathbf{x}_1 = \mathbf{x} - \mathbf{n}l_1$, дошедших в точку с координатой $\mathbf{x} = \{x, r \cos\varphi, r \sin\varphi\}$ без поглощения.

Заметим, что выражение (12) можно получить не из физических рассуждений, а решая неоднородное линейное уравнение в частных производных (6) методом характеристик, решение которого имеет вид интеграла Дюамеля (12). Обратно, из уравнения (12) можно получить уравнение в частных производных (6), если в качестве функции $N(\mathbf{n}\mathbf{n})$ взять функцию $N(\omega, t - dt, \mathbf{x} - \mathbf{c}\mathbf{n} dt, \theta, \phi)$ – на луче распространения фотонов вблизи точки x , на расстоянии $l_f = \mathbf{c}dt$ и разложить правую часть в ряд до членов пропорциональных dt . Вычислим из (7) стационарный вектор $\mathbf{I}(x)$, интегрируя уравнения (12) по переменным θ, ϕ . Перейдем в интеграле равному приходу лучистой энергии от стенки топки (цилиндра) (рисунок) к интегрированию по переменным $x_\alpha = x - l_\alpha \cos\theta, \phi$, где $\mathbf{x}_\alpha = \{x_\alpha, R \cos\varphi_\alpha, R \sin\varphi_\alpha\}$ – координаты на стенке котла, а в интеграле по торцу (поверхность пористой горелки $x = x_\phi = \text{const}$) – к интегрированию по переменным r_ϕ, ϕ , где $\mathbf{x}_\phi = \{x_\phi, r_\phi \cos\varphi_\phi, r_\phi \sin\varphi_\phi\}$ – координаты на поверхности торца, r_ϕ – отсчитывается на торце.

При интегрировании второго слагаемого (14) перейдем от переменных l_1, θ, ϕ к переменным x_1, r_1, ϕ , где $\mathbf{x} - \mathbf{n}l_1 = \{x_1, r_1 \cos\varphi_1, r_1 \sin\varphi_1\}$. Для указанных целей вычислим соответствующие якобианы перехода. Введем обозначения для следующих расстояний:

$$l_f = l(\mathbf{x}, \mathbf{x}_f) = \sqrt{(x - x_f)^2 + r^2 + r_f^2 - 2rr_f \cos(\varphi - \varphi_f)},$$

$$l_f' = l_f'(\mathbf{x}, \mathbf{x}_f) = \sqrt{l_f^2 - (x - x_f)^2}.$$

На стенке топки (цилиндр радиуса R_α) имеем

$$\begin{aligned}
 \mathbf{x}_\alpha &= \mathbf{x} - \mathbf{n} l_\alpha, \\
 \mathbf{n}_f &= \{0, \cos \varphi_\alpha, \sin \varphi_\alpha\}, \quad \mathbf{nn}_f = \sin \theta \cos(\phi - \varphi_\alpha), \\
 (x - x_\alpha)^2 + R^2 + r^2 - 2Rr \cos(\phi - \varphi_\alpha) &= l_\alpha^2, \\
 \frac{\partial(\theta, \phi)}{\partial(x_\alpha, \phi)} &= \frac{\sin \theta}{l_\alpha} = \frac{l'_\alpha}{l_\alpha^2}, \\
 R^2 + r^2 - 2Rr \cos(\phi - \varphi_\alpha) &= l_\alpha^{r2} = l_\alpha^2 \sin^2 \theta, \\
 \cos \theta &= \frac{x - x_\alpha}{l_\alpha}. \quad (13)
 \end{aligned}$$

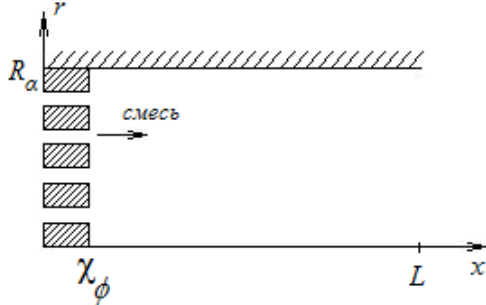


Рисунок. Схема осесимметричных пористой горелки и топки котла

На торце $x=x_\Phi$, где x_Φ – координата торца, имеем

$$\begin{aligned}
 \mathbf{nn}_\Phi &= \cos \theta, \quad \cos \theta = \frac{x - x_\Phi}{l_\Phi}, \\
 (x - x_\Phi)^2 + r_\Phi^2 + r^2 - 2r_\Phi r \cos(\phi - \varphi_\Phi) &= l_\Phi^2, \\
 r_\Phi^2 + r^2 - 2r_\Phi r \cos(\phi - \varphi_\Phi) &= l_\Phi^{r2}, \\
 \frac{\partial(\theta, \phi)}{\partial(r_\Phi, \phi)} &= \frac{x - x_\Phi}{l_\Phi^2 l'_\Phi} [r_\Phi - r \cos(\phi - \varphi_\Phi)]. \quad (14)
 \end{aligned}$$

Внутри топки

$$\begin{aligned}
 (x - x_1)^2 + r^2 + r_1^2 - 2rr_1 \cos(\phi - \varphi_1) &= l_1^2, \\
 r^2 + r_1^2 - 2rr_1 \cos(\phi - \varphi_1) &= l_1^{r2} = \\
 &= l_1^2 \sin^2 \theta, \quad \cos \theta = \frac{x - x_1}{l_1},
 \end{aligned}$$

$$\begin{aligned}
 \frac{\partial(l_1, \theta, \phi)}{\partial(x_1, r_1, \phi)} &= \frac{\partial(l_1, \theta)}{\partial(x_1, r_1)} = -\frac{1}{\sin \theta} \frac{r_1 - r \cos(\phi - \varphi_1)}{l_1^2} = \\
 &= -\frac{r_1 - r \cos(\phi - \varphi_1)}{l_1^2 l_1}. \quad (15)
 \end{aligned}$$

В формулах (13–15) угол φ выражается через угол ϕ в следующем виде:

$$\begin{aligned}
 \cos(\varphi_f - \varphi) &= \frac{\cos(\phi - \varphi)}{\cos(\phi - \varphi_f)} + \frac{r}{r_f} \sin^2(\phi - \varphi), \\
 \cos(\phi - \varphi_f) &= \sqrt{1 - \frac{r^2}{r_f^2} \sin^2(\phi - \varphi)},
 \end{aligned}$$

где индекс $f=\alpha, \Phi, 1$ соответственно на стенке топки, торце и внутри топки, а $r_\alpha=R_\alpha$.

Рассмотрим осесимметричную задачу, когда конфигурация топки и горелки имеет осевую сим-

метрию. Поэтому искомая функция N зависит от координат x, r и не зависит от угла φ . Обозначим на стенке цилиндра

$$\begin{aligned}
 N_f(\omega, \mathbf{x} - \mathbf{n} l_f, \theta, \phi) &= \\
 &= N_\alpha(\omega, x - l_\alpha \cos \theta, R_\alpha, \theta, \phi) = N_\alpha^r(\omega, x_\alpha, \theta), \quad (16)
 \end{aligned}$$

а на торце

$$\begin{aligned}
 N_f(\omega, \mathbf{x} - \mathbf{n} l_f, \theta, \phi) &= \\
 &= N_\Phi(\omega, x_\Phi, r_\Phi, \theta, \phi) = N_\Phi^x(\omega, r_\Phi, \theta).
 \end{aligned}$$

Тогда из (12)–(16) получим следующее уравнение (при вычислении потока I^x единичная нормаль $\mathbf{n}^s=\{\cos \theta, 0, 0\}$, поэтому $\mathbf{nn}^s=\cos \theta$, а при вычислении потока I^r имеем $\mathbf{nn}^s=\sin \theta$):

$$\begin{aligned}
 I(x, r) &= c \int_0^\infty h \omega d\omega \int_{x_\Phi}^{x_\Phi+L} dx_\alpha \int_0^{2\pi} N_\alpha^r(\omega, x_\alpha, \theta_f) \times \\
 &\times w_\alpha \frac{(l'_\alpha)^3 \{x - x_\alpha, l'_\alpha\}}{(l_\alpha)^5} \cos(\phi - \varphi_\alpha) d\phi + \\
 &+ c(x - x_\Phi)^2 \int_0^\infty h \omega d\omega \int_0^{R_\alpha} dr_\Phi \int_0^{2\pi} N_\Phi^x(\omega, r_\Phi, \theta_\Phi) \times \\
 &\times w_\Phi \frac{[r_\Phi - r \cos(\phi - \varphi_\Phi)] \{x - x_\Phi, l'_\Phi\}}{(l_\Phi)^5} d\phi + \\
 &+ \int_0^\infty h \omega d\omega \int_{x_\Phi}^{x_\Phi+L} dx_1 \int_0^{R_\alpha} dr_1 \int_0^{2\pi} \left[N_f(\omega, x_1, r_1, \theta_1) + \right. \\
 &\left. + c\sigma(\omega, x_1, r_1) \right] \times \\
 &\times w_1 \frac{[r_1 - r \cos(\phi - \varphi_1)] \{x - x_1, l'_1\}}{(l_1(x, r))^3} d\phi, \quad (17)
 \end{aligned}$$

$$\begin{aligned}
 w_f &= \exp \left[-\int_0^{l_f} \tilde{a}(\omega, T(x_{fj}, r_{fj})) dl \right], \quad x_{fj} = x - l \frac{x - x_f}{l_f}, \\
 r_{fj} &= \sqrt{l^2 - \left[x - l \frac{x - x_f}{l_f} \right]^2}, \quad \theta_f = \arccos \frac{x - x_f}{l_f},
 \end{aligned}$$

где индекс f равен: на стенке цилиндра – α , на торце – Φ , внутри топки – 1.

Первые два интеграла в правой части (17) равны лучистым потокам соответственно со стенки топки и с поверхности горелки, а третий интеграл равен суммарному излучению газа из области топки.

Рассмотрим задание функции N_f . Функция N_f – задающая поток фотонов со стенки, должна определяться в соответствии с экспериментом. Поток излучения от стенки I_f^- состоит из лучистого потока отраженных фотонов $\rho_f I_f^+$ и потока спонтанного излучения испускаемого стенкой $\varepsilon_f \sigma_0 T_f^4$, нагретой до температуры T_f , где I_f^+ – поток излучения на стенку, $\rho_f(T_f)$ – коэффициент отражения от стенки, $\varepsilon_f(T_f)$ – лучеиспускательная способность (степень черноты). В соответствии со сказанным

$$I_f^- = \rho_f(T_f) I_f^+ + \varepsilon_f(T_f) \sigma_0 T_f^4. \quad (18)$$

Указанные потоки, согласно определению равны

$$\{I_f^-, \varepsilon_f \sigma T_f^4\} = \int_0^\infty d\omega \iint_{nn_f < 0} \{c\omega N_f(\omega, x_f, \theta, \phi), i_f(\omega, T_f, \theta, \phi)\} \times \sin \theta d\theta d\phi, \quad (19)$$

$$I_f^+ = ch \int_0^\infty \omega d\omega \iint_{nn_f > 0} N^+(\omega, x_f, \theta, \phi) \sin \theta d\theta d\phi,$$

где cN^+ – поток фотонов, падающих на стенку, $i_f(\omega, T_f, \theta, \phi)$ – плотность потока спонтанного лучеиспускания стенки. Очевидно, что

$$N_f(\omega, x_f, \theta, \phi) = N(\omega, x_f, \theta, \phi), \quad nn_f < 0, \\ N^+(\omega, x_f, \theta, \phi) = N(\omega, x_f, \theta, \phi), \quad nn_f > 0. \quad (20)$$

Функция i_f – может быть определена экспериментально или вычислена из электромагнитной теории. Так для черного излучения $i_f = h\omega i_{bn}$. В дальнейших вычислениях будем считать, что распределение излучения по углу θ не зависит от частоты ω , поэтому и учитывая осевую симметрию

$$i_f = i_{f0}(\omega, T) \frac{\chi_{fl}(T, \theta)}{\chi_{fl0}}, \quad \chi_{fl0} = \iint_{nn_f < 0} \chi_{fl} \sin \theta d\theta d\phi. \quad (21)$$

Для лучеиспускания газа примем

$$N_v = \frac{1}{4\pi} a(\omega, T) i_{10}(\omega, T) \chi_v(T, \theta),$$

$$\int_0^\pi \int_0^{2\pi} \chi_{vl} \sin \theta d\theta d\phi = 4\pi, \quad i_{10}(\omega, T) = i_{bn}(\omega, T).$$

Из (19), (21) следует

$$\varepsilon_f \sigma_0 T_f^4 = \int_0^\infty i_{f0}(\omega, T_f) d\omega,$$

$$\langle a \rangle \sigma_0 T^4 = \int_0^\infty N_v d\omega = \int_0^\infty a(\omega, T) i_{10}(\omega, T) d\omega, \quad (22)$$

$$\text{где } \sigma_0 T^4 = \int_0^\infty i_{10}(\omega, T) d\omega.$$

Для потока отраженных фотонов cN_f^- имеем

$$N_f^-(\omega, x_f, \theta, \phi) = \rho_f(\omega, T) N^+(\omega, x_f, \theta, \phi), \quad nn_f < 0, \quad (23)$$

где θ_v и ϕ_v – определяются из условий отражения. Если, например, для отраженных лучей угол отражения равен углу падения падающих на стенку фотонов, то

$$\mathbf{v} n_f = -\mathbf{n} n_f, \quad \mathbf{v} - \mathbf{v}(\mathbf{v} n_f) = \mathbf{n} - \mathbf{n}(n_f), \quad (24)$$

где первое уравнение следует из равенства углов падения и отражения, а второе – является условием равенства проекций направляющих единичных векторов (\mathbf{v} – для падающих лучей и \mathbf{n} – для отраженных лучей) на плоскость нормальную \mathbf{n}_f , где

$$\mathbf{v} = \{\cos \theta_v, \sin \theta_v \cos \phi_v, \sin \theta_v \sin \phi_v\}. \quad (25)$$

Очевидно, что в указанном случае если $\mathbf{n}_f = \mathbf{n}_a = \{0, \cos \varphi_a, \sin \varphi_a\}$ (стенка цилиндра), то $\theta_v = \theta$, $\phi_v - \varphi_a = \pi - (\phi - \varphi_a)$, а если $\mathbf{n}_f = \mathbf{n}_\phi = \{1, 0, 0\}$ (торец), то $\theta_v = \pi - \theta$, $\phi_v = \phi$. В дальнейших вычислениях будем считать, что распределение отраженных фотонов по углу θ не зависит от частоты ω и, учитывая осевую симметрию, получим

$$ch \omega N_f^- = i_f^-(\omega, T) \frac{\chi_{f0}^-(T, \theta)}{\chi_{f0}^-}, \quad \chi_{f0}^- = \iint_{nn_f < 0} \chi_{f0}^- \sin \theta d\theta d\phi, \\ \rho_f I_f^+ = ch \int_0^\infty \omega d\omega \iint_{nn_f < 0} N_f^- \sin \theta d\theta d\phi = \int_0^\infty i_f^- d\omega. \quad (26)$$

Выразим, используя (18) потоки I_f^+ и I_f^- через суммарный поток $I_f = \left(I_f^- + \frac{i_f}{ch\omega} \right) - I_f^+$, тогда получим из (23) с учетом (21), (26) и $N_f = N_f^- + \frac{i_f}{ch\omega}$

$$I_f^+ = \frac{1}{1 - \rho_f} (\varepsilon_f \sigma_0 T_f^4 - I_f), \\ I_f^- = \frac{\rho_f}{1 - \rho_f} (\varepsilon_f \sigma_0 T_f^4 - \rho_f I_f), \quad (27)$$

$$ch \int_0^\infty \omega N_f(\omega, x_f, \theta, \phi) w_f d\omega = \frac{\rho_f}{1 - \rho_f} (\varepsilon_f \sigma_0 T_f^4 - I_f) \langle w_f \rangle \frac{\chi_{f0}^-(T, \theta)}{\chi_{f0}^-} + \frac{\varepsilon_f \chi_{fl}(T, \theta)}{\sigma_0^{-1} T_f^4 \langle w_f \rangle \chi_{fl0}}, \quad (28)$$

$$\{\rho_f I_f^+ \langle w_f \rangle^-, \varepsilon_f \sigma_0 T_f^4 \langle w_f \rangle\} = \int_0^\infty \{i_f^-(\omega, T_f), i_f(\omega, T_f)\} w_f d\omega, \quad (29)$$

Выполним в (17) интегрирование по частотам ω с учетом предположений (21), (27), уравнений (28) и обозначений (29), тогда получим следующее выражение для лучистого суммарного потока:

$$\mathbf{I}(x, r) = \int_{x_\phi}^{x_\phi + L} \left[\frac{\rho_\alpha}{1 - \rho_\alpha} (\varepsilon_\alpha \sigma_0 T_\alpha^4(x_\alpha) - I_\alpha^+(x_\alpha)) \times \right. \\ \left. \times \gamma_\alpha^-(x - x_\alpha, x_\alpha, r) + \varepsilon_\alpha \sigma_0 T_\alpha^4(x_\alpha) \gamma_{\alpha l}(x - x_\alpha, x_\alpha, r) \right] dx_\alpha + \\ + \int_0^{R_\phi} \left[\frac{\rho_\phi}{1 - \rho_\phi} (\varepsilon_\phi \sigma_0 T_\phi^4(r_\phi) - I_\phi^+(r_\phi)) \times \right. \\ \left. \times \gamma_\phi^-(x - x_\phi, r, r_\phi) + \varepsilon_\phi \sigma_0 T_\phi^4(r_\phi) \gamma_{\phi l}(x - x_\phi, r, r_\phi) \right] dr_\phi + \\ + \int_{x_\phi}^{x_\phi + L_\alpha} \left[\int_0^{R_\alpha} [\sigma_0 T_\alpha^4(x_\alpha, r_1) + c\sigma(x_\alpha, r_1)] \times \gamma_l(x - x_\alpha, r, r_1) dr_1 \right] dx_\alpha, \quad (30)$$

где обозначено

$$\gamma_\alpha^-(x - x_\alpha, x_\alpha, r) = \int_0^{2\pi} \langle w_\alpha \rangle^- \frac{\chi_\alpha^-(T_\alpha, \theta_\alpha) (l'_\alpha)^3 \{x - x_\alpha, l'_\alpha\}}{\chi_{\alpha 0}^- (l_\alpha)^5} \times \cos(\phi - \varphi_\alpha) d\phi,$$

$$\begin{aligned}
 \gamma_{\alpha l}(x-x_{\alpha}, x_{\alpha}, r) &= \\
 &= \int_0^{2\pi} \langle w_{\alpha} \rangle \frac{\chi_{\alpha l}(T_{\alpha}, \theta_{\alpha}) (l_{\alpha}^r)^3 \{x-x_{\alpha}, l_{\alpha}^r\}}{\chi_{\alpha l 0} (l_{\alpha})^5} \times \\
 &\quad \times \cos(\phi - \varphi_{\alpha}) d\phi, \\
 \gamma_{\Phi}^-(x-x_{\Phi}, r, r_{\Phi}) &= (x-x_{\Phi})^2 \int_0^{2\pi} \langle w_{\Phi} \rangle^- \frac{\chi_{\Phi}^-(T_{\Phi}, \theta_{\Phi})}{\chi_{\Phi 0}^-} \times \\
 &\quad \times \frac{[r_{\Phi} - r \cos(\phi - \varphi_{\Phi})] \{x-x_{\Phi}, l_{\Phi}^r\}}{(l_{\Phi})^5} d\phi, \\
 \gamma_{\Phi l}(x-x_{\Phi}, r, r_{\Phi}) &= (x-x_{\Phi})^2 \int_0^{2\pi} \langle w_{\Phi} \rangle \frac{\chi_{\Phi l}(T_{\Phi}, \theta_{\Phi})}{\chi_{\Phi 0}} \times \\
 &\quad \times \frac{[r_{\Phi} - r \cos(\phi - \varphi_{\Phi})] \{x-x_{\Phi}, l_{\Phi}^r\}}{(l_{\Phi})^5} d\phi, \\
 \gamma_1(x-x_1, x_1, r, r_1) &= \int_0^{2\pi} \langle aw_1 \rangle \frac{\chi_{1l}(T(x_1, r_1), \theta_1)}{4\pi} \times \\
 &\quad \times \frac{[r_1 - r \cos(\phi - \varphi_1)] \{x-x_1, l_1^r\}}{l_1^3} d\phi. \quad (31)
 \end{aligned}$$

Из (30) получим для потоков на стенку цилиндра ($r=R$) и на торец ($x=x_{\Phi}$) следующие уравнения:

$$\begin{aligned}
 I_{\alpha}^r(x) &= I^r(x, R_{\alpha}) = \\
 &= \int_{x_{\Phi}}^{x_{\Phi}+L} \left[\int_0^{R_{\alpha}} [\sigma_0 T^4(x_1, r_1) + c\sigma(x_1, r_1)] \times \right. \\
 &\quad \left. \times \gamma_1^r(x-x_1, R_{\alpha}, r_1) dr_1 \right] dx + \\
 &+ \int_{x_{\Phi}}^{x_{\Phi}+L} \left[\frac{\rho_{\alpha}}{1-\rho_{\alpha}} (\varepsilon_{\alpha} \sigma_0 T_{\alpha}^4(x_{\alpha}) - \right. \\
 &\quad \left. - I_{\alpha}^r(x_{\alpha})) \gamma_{\alpha}^{-r}(x-x_{\alpha}, x_{\alpha}, R_{\alpha}) + \right. \\
 &\quad \left. + \varepsilon_{\alpha} \sigma_0 T_{\alpha}^4(x_{\alpha}) \gamma_{\alpha l}^r(x-x_{\alpha}, x_{\alpha}, R_{\alpha}) \right] dx_{\alpha} + \\
 &+ \int_0^{R_{\alpha}} \left[\frac{\rho_{\Phi}}{1-\rho_{\Phi}} (\varepsilon_{\Phi} \sigma_0 T_{\Phi}^4(r_{\Phi}) - \right. \\
 &\quad \left. - I_{\Phi}^x(r_{\Phi})) \gamma_{\Phi}^{-r}(x-x_{\Phi}, R_{\alpha}, r_{\Phi}) + \right. \\
 &\quad \left. + \varepsilon_{\Phi} \sigma_0 T_{\Phi}^4(r_{\Phi}) \gamma_{\Phi l}^r(x-x_{\Phi}, R_{\alpha}, r_{\Phi}) \right] dr_{\Phi}. \quad (32)
 \end{aligned}$$

СПИСОК ЛИТЕРАТУРЫ

1. Эккерт Э.Р. Теория тепло- и массообмена. – М.-Л.: Госэнергоиздат, 1961. – 680 с.
2. Зигель Р., Хауэлл Дж. Теплообмен излучением. – М.: Мир, 1975. – 934 с.
3. Чандрасекар С. Перенос лучистой энергии. – М.: Иностранная литература, 1953. – 432 с.
4. Тимошпольский В.И., Герман М.Л., Гринчук П.С., Ознобишин А.Н. Численное решение уравнения переноса излучения в поглощающей, излучающей и рассеивающей среде со сложной 3-D геометрией // Инженерно-физический журнал. – 2005. – Т. 78. – № 1. – С. 138–147.

$$\begin{aligned}
 I_{\Phi}^x(r) &= I^x(x_{\Phi}, r) = \\
 &= \int_{x_{\Phi}}^{x_{\Phi}+L} \left[\int_0^{R_{\alpha}} [\sigma_0 T^4(x_1, r_1) + c\sigma(x_1, r_1)] \times \right. \\
 &\quad \left. \times \gamma_1^x(x_{\Phi}-x_1, r, r_1) dr_1 \right] dx_1 + \\
 &+ \int_{x_{\Phi}}^{x_{\Phi}+L} \left[\frac{\rho_{\alpha}}{1-\rho_{\alpha}} (\varepsilon_{\alpha} \sigma_0 T_{\alpha}^4(x_{\alpha}) - \right. \\
 &\quad \left. - I_{\alpha}^r(x_{\alpha})) \gamma_{\Phi}^{-x}(x_{\alpha}-x_{\Phi}, x_{\alpha}, r) + \right. \\
 &\quad \left. + \varepsilon_{\alpha} \sigma_0 T_{\alpha}^4(x_{\alpha}) \gamma_{\Phi l}^x(x_{\alpha}-x_{\Phi}, x_{\alpha}, r) \right] dx_{\alpha}. \quad (33)
 \end{aligned}$$

Выводы

Предложен метод расчета вектора потока лучистой энергии в осесимметричном объеме в форме интеграла (17), который позволяет рассчитывать вектор потока лучистой энергии в котле осесимметричной конфигурации из ур. (30–33), для известного поля температур газа, пористой горелки и стенок. Уравнения записаны для ситуации, когда суммарное поглощенное излучение в данной точке объема топки сразу же рассеивается изотропно. Температура газа и стенок рассчитываются из уравнений системы (1) при задании граничных условий и вычисленном из ур. (30–33) векторе потока лучистой энергии в объеме газа и на стенках. Метод расчета пригоден для решения вариационной задачи построения оптимального котла осесимметричной конфигурации. Ур. (33) является аналитической формулой для вычисления потока лучистой энергии $I_{\Phi}^x(r_{\Phi})$ на пористую горелку (если известен лучистый поток $I_{\alpha}^r(r_{\alpha})$ на стенку котла и температуры $T(x_1, r_1)$ и $T_{\alpha}(r_{\alpha})$). Подставляя (33) в последний интеграл уравнения (32) можно получить интегральное уравнение для лучистого потока на цилиндрическую стенку котла $I_{\alpha}^r(r_{\alpha})$ (если известны температуры $T(x_1, r_1)$, $T_{\alpha}(r_{\alpha})$, $T_{\Phi}(r_{\Phi})$). Ур. (30) является аналитической формулой для СВПЛЭ, если известны температура газа в топке $T(x_1, r_1)$, температуры на стенке $T_{\alpha}(r_{\alpha})$ и на пористой горелке $T_{\Phi}(r_{\Phi})$, лучистые потоки на пористой горелке $I_{\Phi}^x(r_{\Phi})$ и стенке котла $I_{\alpha}^r(r_{\alpha})$.

Работа выполнена при финансовой поддержке Российского фонда фундаментальных исследований – грант РФФИ 06-08-00357-а.

5. Тимошпольский В.И., Герман М.Л., Гринчук П.С., Андрианов Д.Н. Расчет характеристик переноса теплового излучения в рабочем пространстве кольцевой печи // Инженерно-физический журнал. – 2005. – Т. 78. – № 3. – С. 3–14.
6. Тимошпольский В.И., Герман М.Л., Гринчук П.С., Кабишов С.М. Математическое моделирование сопряженного теплообмена в нагревательных печах с подвижным подом // Инженерно-физический журнал. – 2006. – Т. 79. – № 3. – С. 3–11.

Поступила 09.07.2007 г.